

تحلیل اطلاعات آماری و مدل‌سازی قابلیت اطمینان ملحظ بالگرد با در نظر گرفتن حالت‌های چندگانه‌ی واماندگی

امیررضا شاهانی*

محصوهه بابایی (کارشناس ارشد)

دانشکده‌ی هنдрی مکانیک، دانشگاه صنعتی خواجه نصیرالدین طوسی

با توجه به تحلیل‌های آماری محدود قابلیت اطمینان قطعات بالگرد در مراجع فنی، تحلیل قابلیت اطمینان ۳۳۸ ملحظ بالگرد ۲۰۵ در شرایط پروازی بین سال‌های ۱۳۹۰ تا ۱۳۹۳ انجام شده است. با انجام تحلیل آماری، قابلیت اطمینان ملحظ بالگرد که دارای حالت‌های چندگانه‌ی واماندگی است، استخراج شده است. توابع قابلیت اطمینان با روش تخمین کاپلان - میر محاسبه شده و پس از استخراج بازه‌های اطمینان برای نتایج غیرپارامتریک، به‌کمک دو روش حداکثر احتمال و نموداری، توزیع واپیول سه‌پارامتری به دست آمده است. همچنین توابع تجمعی خرابی حالت‌های واماندگی با روش تخمین نلسون - آلن استخراج شده است. یکی از نتایج مهم این است که قابلیت اطمینان این ملحظ‌ها دارای توزیع واپیول سه‌پارامتری و آهنگ واماندگی فزاینده با زمان است. در نهایت، با توجه به نمودار توابع تجمعی خرابی مربوط به هر حالت واماندگی مشخص شد که حالت واماندگی ۱ که مربوط به ارتعاشات بیش از حد است، بیشترین تأثیر را در واماندگی ملحظ‌ها داشته است.

shahani@kntu.ac.ir
m.babaei@sina.kntu.ac.ir

واژگان کلیدی: قابلیت اطمینان، ملحظ بالگرد ۲۰۵، تحلیل آماری، حالت‌های چندگانه‌ی واماندگی، توزیع واپیول سه‌پارامتری.

۱. مقدمه

بین قابلیت اطمینان و عمر این عضوها را منتشر کرده است.^[۱] همچنین در سال ۲۰۰۹ با تحلیل اطلاعات آماری و مدل‌سازی قابلیت اطمینان ۱۵۸۴ ماهواره، نهایتاً سهم زیرسیستم‌های مختلف این ماهواره‌ها در واماندگی آن‌ها مشخص شد.^[۲] گاهی ممکن است قطعه‌یی دارای یک زمان واماندگی مشخص باشد، اما حالت‌های واماندگی مختلفی داشته باشد. اغلب حالت‌های واماندگی، دلایل واماندگی، حالت‌های چندگانه‌ی واماندگی یا حالت‌های رقبتی^۳ نیز نامیده می‌شوند.^[۲] تاکنون نلاش‌های زیادی با در نظر گرفتن حالت‌های چندگانه‌ی واماندگی برای تحلیل قابلیت اطمینان صورت گرفته است.^[۷-۵]

در این نوشتار، اطلاعات واماندگی ۳۳۸ ملحظ بالگرد ۲۰۵ در شرایط پروازی بین سال‌های ۱۳۹۰ تا ۱۳۹۳ گردآوری شده که این ملحظ‌ها ۴۱ حالت واماندگی مختلف دارند. تحلیل غیرپارامتریک قابلیت اطمینان با در نظر گرفتن همه‌ی حالت‌های واماندگی انجام شده، که در این حالت اطلاعات واماندگی از نوع اطلاعات کامل است. توابع قابلیت اطمینان به‌کمک روش تخمین کاپلان - میر محاسبه شده^[۸] و بازه‌های اطمینان برای نتایج قابلیت اطمینان غیرپارامتریک نیز استخراج شده است.^[۱۰-۹] توابع تجمعی خرابی مربوط به هر حالت واماندگی^۵ نیز به‌کمک روش تخمین نلسون - آلن استخراج شده است.^[۱۱-۱۰]

قابلیت اطمینان از مشخصه‌های ذاتی هر محصول یا سیستم، و یکی از پارامترهای طراحی، ساخت و بهره‌برداری است که طی فرایندهای مربوطه همواره باید به عنوان یک معیار مهم مورد توجه و کنترل قرار گیرد. بنابراین برای حصول این امر، کیمیت‌سنجی قابلیت اطمینان ضرورت می‌باید. قابلیت اطمینان یک محصول عبارت است از احتمال عملکرد رضایت‌بخش و مطلوب آن محصول تحت شرایط کاری مشخص در مدت زمان معین.^[۱] درنتیجه با در دست داشتن تابع قابلیت اطمینان می‌توان احتمال این که قطعه‌یی مورد نظر در طول عمر مشخصی دچار واماندگی^۱ شود را به دست آورد. قابلیت اطمینان را می‌توان به روش‌های مختلفی کمی کرد که یکی از آن‌ها تحلیل اطلاعات آماری است. روش‌های مربوط به تحلیل‌های آماری و اطلاعات زمان عمر^۲ از حدود سال ۱۹۷۰ آغاز و به سرعت گسترش یافته‌اند.^[۲]

در مراجع فنی اطلاعات واماندگی و تحلیل‌های آماری محدودی در مورد قابلیت اطمینان قطعات بالگرد وجود دارد. شرکت بل آمریکا به‌کمک روش تداخل تنش - استحکام^۳ قابلیت اطمینان بعضی از اجزای بالگرد OH-۵۸D را استخراج و رابطه‌ی

* نویسنده مسئول

تاریخ: دریافت ۲۳/۷/۱۳۹۲، اصلاحیه ۱/۴/۱۳۹۳، پذیرش ۲۱/۴/۱۳۹۳.

حالات واماندگی مربوط به هریک از زمان‌های واماندگی به کمک رابطه‌ی کاپلان - میر (رابطه‌ی ۱) تخمین زده می‌شود:^[۴]

$$\hat{R}(t) = \prod_{\text{all } i \text{ such that } t_{(i)} \leq t} \frac{n_i - d_i}{n_i} \quad (1)$$

که در آن $t_{(i)}$ زمان واماندگی i ، n_i تعداد قطعات سالم قبل از زمان $(t_{(i)}, t)$ ، و d_i تعداد قطعات دچار واماندگی شده در زمان $(t_{(i)}, t)$ است. تابع $\hat{R}(t)$ تابعی پله‌ی است که در زمان $t = 0$ برابر ۱ است و پس از هر زمان $(t_{(i)}, t)$ به اندازه‌ی $(n_i - d_i)/n_i$ کاهش می‌یابد. همچنین برای تخمین توابع خواهی تجمعی برای هر حالت واماندگی از روش نلسون - آلن (NA) استفاده شده است.^[۵] نحوه‌ی استخراج رابطه‌ی تخمین نلسون - آلن در منابع موجود^[۶-۱۱] ذکر شده است. رابطه‌ی تخمین (NA) برای تابع خواهی تجمعی با در نظر گرفتن حالت‌های واماندگی برای حالت واماندگی ز در رابطه‌ی ۲ آمده است:

$$\hat{\Lambda}_j(t) = \sum_{\text{all } i \text{ such that } t_{(i)} \leq t} \frac{\delta_{ij}}{n_i}; \quad j = 1, \dots, k \quad (2)$$

که در آن $t_{(i)}$ زمان واماندگی i ، n_i تعداد قطعات سالم قبل از زمان $(t_{(i)}, t)$ ، و k تعداد کل حالت‌های واماندگی است.

۲.۳. تحلیل بازه‌های اطمینان^{۱۰}

روش تخمین کاپلان - میر (رابطه‌ی ۱) برآورده با حداکثر احتمال^{۱۱} را ارائه می‌دهد اما میزان پراکنده‌ی اطراف $\hat{R}(t)$ را مشخص نمی‌کند. میزان این پراکنده‌ی با توجه به مقدار واریانس و انحراف معیار $\hat{R}(t)$ تخمین زده شده که برای استخراج حدود بالا و پایین بازه‌های اطمینان ۹۵٪ کاربرد دارد، به دست می‌آید که با احتمال ۹۵٪ قابلیت اطمینان واقعی بین دو حد محاسبه شده قرار می‌گیرد. مقدار واریانس قابلیت اطمینان به کمک گرین وود و از رابطه‌ی ۳ به دست می‌آید:

$$\text{var}[R(t_i)] \equiv \sigma^r(t_i) = [\hat{R}(t_i)]^* \sum_{j \leq i} \frac{d_j}{n_j(n_j - d_j)} \quad (3)$$

مقدار بازه‌های اطمینان نیز به کمک رابطه‌ی ۴ محاسبه می‌شود:

$$R_{95\%} = \hat{R}(t_i) \pm 1/\sqrt{6}\sigma(t_i) \quad (4)$$

جزئیات بیشتر درمورد این روابط در منابع موجود^[۶-۱۱] در دسترس است.

۳. نمودارهای تخمین غیرپارامتریک قابلیت اطمینان ملح بالگرد
با توجه به توضیحات داده شده درمورد روش تخمین کاپلان - میر، بازه‌های اطمینان و روش تخمین نلسون - آلن برای تخمین توابع خواهی تجمعی مربوط به هر حالت واماندگی، اطلاعات آماری مربوط به قابلیت اطمینان به کمک روش تخمین کاپلان - میر (رابطه‌ی ۱) نمودار مربوط به قابلیت اطمینان غیرپارامتریک ملح بالگرد به دست آمده است. همچنین با به کارگیری روابط ۳ و ۴ بازه‌های اطمینان ۹۵٪ نیز محاسبه شده‌اند. نمودار قابلیت اطمینان غیرپارامتریک ملح بالگرد با در نظر گرفتن همه‌ی حالت‌های واماندگی همراه با بازه‌های اطمینان ۹۵٪ در شکل ۱ نمایش داده شده است. مقادیر محاسبه شده برای $\hat{R}(t)$ و بازه‌های اطمینان برای ۱۵ زمان اول واماندگی در جدول ۲ آمده است.

همچنین به کمک روش تخمین نلسون - آلن (رابطه‌ی ۲) نمودار توابع خواهی تجمعی هر حالت واماندگی به دست آمده است. نمودار مربوط به ۱۰ حالت واماندگی

جدول ۱. نمونه‌ی اطلاعات آماری گردآوری شده برای تحلیل قابلیت اطمینان ملح بالگرد ۲۰۵.

شماره‌ی ملح	تاریخ واماندگی	زمان پرواژی	موقعی (ساعت)
A2 - ۱۵۵۹۲	ایجاد تک	۵۴/۱۰/۹	۶۰۳
A2 - ۱۸۷۸۸	ایجاد نامیرای	۷۱/۱۰/۵	۱۶۰۵
A2 - ۱۴۴۷	ارتعاشات بیش از حد	۸۱/۱۲/۳	۱۴۸۵
A2 - ۲۵۴۰۶	حالات واماندگی کامل *	۸۹/۶/۱۷	۲۱۲۶

* scrapping

در بخش دوم مقاله، اطلاعات آماری ارائه شده از سوی صنعت توصیف شده است. با توجه به اطلاعات آماری تحلیل‌های غیرپارامتریک^۶ و پارامتریک قابلیت اطمینان انجام و در نهایت تابع قابلیت اطمینان برحسب ساعت‌های پرواژی موفق استخراج شده است. همچنین این تابع به کمک توزیع واپیول سه‌پارامتری به دست آمده و در آخر نتایج حاصله از تحلیل‌های صورت گرفته بیان شده است.

۲. توصیف اطلاعات آماری

در این نوشتار برای انجام تحلیل مورد نظر از اطلاعات جمع‌آوری شده توسط صنعت بالگرد (پنهان) استفاده شده است. اطلاعات ارائه شده از سوی صنعت، اطلاعات کامل^۷ درمورد واماندگی ملح‌های بالگرد، علت هریک از آن‌ها، و نیز زمان‌های پرواژی موفق تا قبل از رخداد هریک از واماندگی‌ها مربوط به سال ۱۳۵۳ تا آخر سال ۱۳۹۰ است. نمونه‌ی از اطلاعات استفاده شده در جدول ۱ نشان داده شده است. اطلاعات استخراج شده برای هریک از ملح‌ها عبارت‌اند از: ۱. زمان‌های پرواژی موفق؛ ۲. زمان‌های واماندگی در صورت رخداد آن‌ها؛ ۳. حالت واماندگی مربوط به هریک از زمان‌های واماندگی.

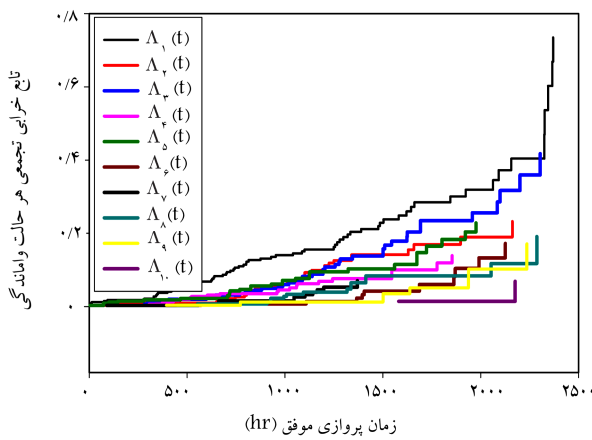
۳. قابلیت اطمینان غیرپارامتریک ملح بالگرد

در این قسمت برای انجام تحلیل غیرپارامتریک، اطلاعات آماری با تمام حالت‌های واماندگی مدنظر قرار گرفته است. یکی از این حالت‌های واماندگی به از کار افتادن کامل ملح بالگرد (حالات از کار افتادگی کامل^۸) منجر می‌شود و بقیه حالت‌ها باعث می‌شوند که ملح‌ها نیازمند تعمیر باشند و پس از تعمیر دوباره به چرخه کاری بازمی‌گردند.

۳.۱. اطلاعات کامل و روش تخمین کاپلان - میر

با در نظر گرفتن همه‌ی حالت‌های واماندگی، اطلاعات آماری از نوع اطلاعات کامل است و در آن اطلاعات از دست رفته^۹ وجود ندارد. در این حالت، ملح‌ها به حالات مختلف دچار واماندگی می‌شوند. حالت‌های واماندگی را دلایل واماندگی نیز می‌نامند. ملح‌های مورد نظر ۴۱ حالت واماندگی مختلف دارند که حالت واماندگی کامل باعث از کار افتادگی کامل می‌شود و بقیه حالت‌ها باعث می‌شوند که ملح‌ها نیازمند تعمیر باشند که پس از تعمیر دوباره به چرخه کاری بازمی‌گردند.

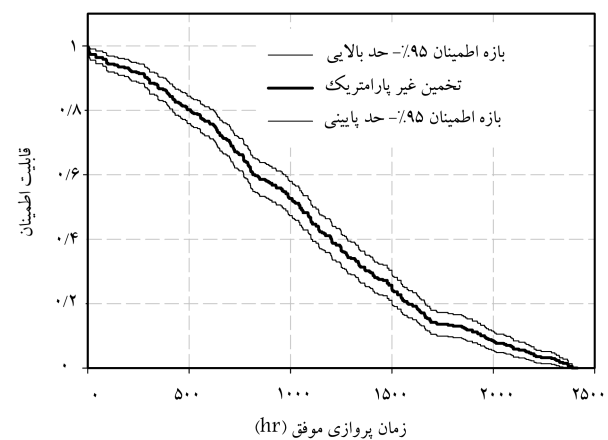
با توجه به تعریف قابلیت اطمینان و در نظر گرفتن اولین زمان برای همه‌ی حالت‌های واماندگی، تابع قابلیت اطمینان غیرپارامتریک (($\hat{R}(t)$) با نادیده گرفتن



شکل ۲. نمودار غیر پارامتریک تابع واماندگی تجمعی برای حالت‌های مختلف واماندگی.



شکل ۳. حالت واماندگی لایه لایه شدن ملح بالگرد.



شکل ۱. قابلیت اطمینان غیر پارامتریک ملح بالگرد ۲۰۵ با بازه‌های اطمینان ۹۵٪ برای کل حالت‌های واماندگی.

جدول ۲. مقادیر غیر پارامتریک قابلیت اطمینان و بازه‌های اطمینان با در نظر گرفتن همهٔ حالت‌های واماندگی.

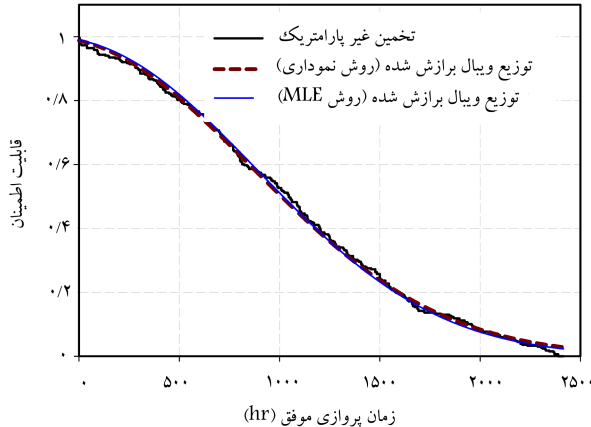
زمان واماندگی (ساعت)	تعادل	قابلیت اطمینان ۹۵٪	$\hat{R}(t)$	عدد واماندگی
حد پایین	حد بالا			
۱/۰۰۰۰۰	۰,۹۹۱۲۵۱	۰,۹۹۷۰۴۱	۱	۳
۱/۰۰۰۰۰	۰,۹۸۵۹۰۷	۰,۹۹۴۰۸۳	۱	۴
۰,۹۹۹۶۹	۰,۹۷۶۶۳۷	۰,۹۸۸۱۶۶	۲	۶
۰,۹۹۶۳۳	۰,۹۶۸۱۷۱	۰,۹۸۲۲۴۹	۲	۷
۰,۹۹۴۴۷	۰,۹۶۴۱۰۸	۰,۹۷۹۲۹۰	۱	۱۰
۰,۹۹۲۵۴	۰,۹۶۰۱۲۵	۰,۹۷۶۳۳۱	۱	۱۲
۰,۹۹۰۵۴	۰,۹۵۶۲۱۰	۰,۹۷۳۳۷۳	۱	۳۹
۰,۹۸۸۴۸	۰,۹۵۲۳۵۰	۰,۹۷۰۴۱۴	۱	۴۰
۰,۹۸۴۲۲	۰,۹۴۴۷۷۰	۰,۹۶۴۴۹۷	۲	۷۳
۰,۹۸۲۰۴	۰,۹۴۱۰۳۷	۰,۹۶۱۵۳۸	۱	۷۵
۰,۹۷۹۸۲	۰,۹۳۷۲۳۷	۰,۹۵۸۵۸۰	۱	۹۰
۰,۹۷۷۵۸	۰,۹۳۳۶۶۷	۰,۹۵۵۶۲۱	۱	۹۳
۰,۹۷۰۶۸	۰,۹۲۲۸۰۸	۰,۹۴۶۷۴۶	۳	۱۰۰
۰,۹۶۸۳۴	۰,۹۱۹۲۳۲	۰,۹۴۳۷۸۷	۱	۱۳۱
۰,۹۶۵۹۸	۰,۹۱۵۶۷۵	۰,۹۴۰۸۲۸	۱	۱۴۷

۱.۴. گراف‌های احتمال یا تخمین نموداری

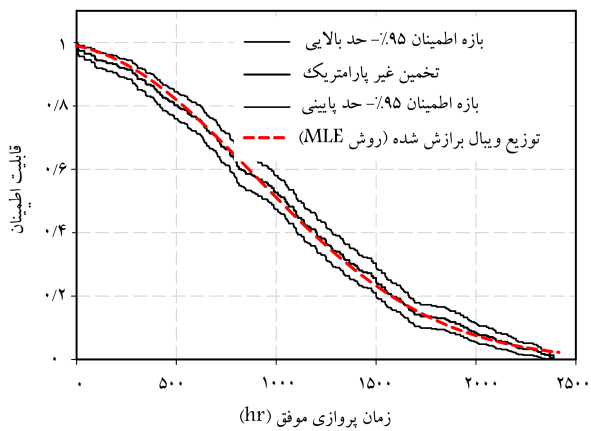
روش نموداری به عنوان روش گراف‌های احتمال نیز شناخته می‌شود. از این روش برای نشان دادن این که توزیع واپیول سه‌پارامتری بهترین توزیع جهت توصیف اطلاعات آماری مورد نظر است، استفاده شده است. روش گراف‌های احتمال از یک روش ساده برای برآذش یک توزیع پارامتری بر اطلاعات غیر پارامتریک استفاده می‌کند. در این روش رابطه‌ی بین قابلیت اطمینان و زمان در توزیع آماری در نظر گرفته، آن را به یک رابطه‌ی خطی تبدیل کرده به عنوان مثال توزیع واپیول دوپارامتری در نظر بگیرید:

$$R(t) = \exp\left[-\left(\frac{t}{\theta}\right)^{\beta}\right] \quad (5)$$

که بیش از ۵ بار اتفاق افتاده‌اند در شکل ۲ نمایش داده شده است. چنان که از نمودارها مشخص است حالت واماندگی ۱ بیشترین تأثیر را در واماندگی این نوع ملح در کل زمان‌های کاری و سپس حالت واماندگی ۳ بیشترین تأثیر را داشته است. این دو حالت را باید به عنوان دو حالت واماندگی مهم در طراحی این نوع ملح در نظر داشت. پس از این دو حالت مهم ترین حالت‌های واماندگی حالت‌های ۲ و ۵ هستند. البته بعد از زمان‌های ۲۰۰۰ ساعت، حالت ۱۷ هم جزء حالت‌های مهم است. شبیه نمودارها در شکل ۲ تخمینی از توابع آهنگ خواری $(t)^{\lambda}$ برای حالت‌های مختلف واماندگی است. یکی از حالت‌های مهم واماندگی این نوع ملح‌ها لایه‌لایه شدن آن‌ها است که در شکل ۳ نمایش داده شده است.



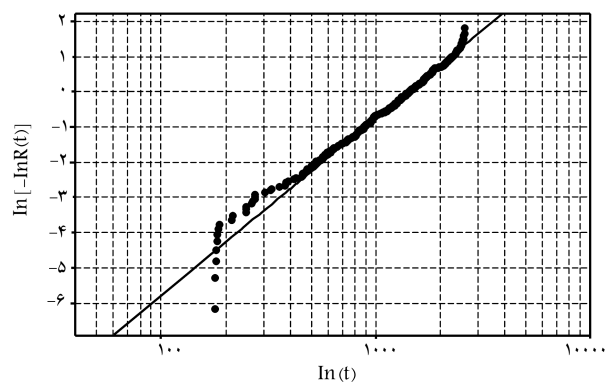
شکل ۵. نمودار تابع قابلیت اطمینان غیر پارامتریک ملح بالگرد ۲۰۵ و توزیع پارامتریک واپیول به دست آمده از دو روش حداقل مربعات و MLE.



شکل ۶. نمودار تابع قابلیت اطمینان غیر پارامتریک ملح بالگرد ۲۰۵ با بازه‌های اطمینان ۹۵٪ و توزیع پارامتریک واپیول به دست آمده از روش MLE.

که در آن f تابع چگالی احتمال^{۲۱}، R تابع قابلیت اطمینان مدل انتخاب شده، و c_i حالت‌های مختلف واماندگی است. اگر t_i زمان واماندگی باشد آنگاه $\delta_i = 1$ ، و اگر t_i زمان از دست رفته باشد آنگاه $\delta_i = 0$ است.

با توجه به توضیحات داده شده، پس از در نظر گرفتن توزیع‌های آماری مختلف، از جمله توزیع واپیول دوپارامتری، واپیول سهپارامتری، نمایی، نرمال و لگنرمال و انجام آزمون برآش منحنی ضریب تصحیح بی‌پرسون^{۱۹} مشخص شد که بهترین توزیع، توزیع واپیول سهپارامتری است. نمودار احتمال واپیول اطلاعات آماری مورد نظر در شکل ۴ نمایش داده شده است.



شکل ۴. نمودار احتمال واپیول اطلاعات آماری با در نظر گرفتن همه حالت‌های واماندگی.

با گرفتن دوبار لگاریتم طبیعی از دو طرف رابطه ۵ داریم:

$$\ln[-\ln R(t)] = \beta \ln(t) - \beta \ln(\theta) \quad (6)$$

رابطه ۶ دقیقاً معادل رابطه ۵ است. حال با در دست داشتن تابع غیر پارامتریک $\hat{R}(T_i)$ در زمان‌های مختلف t_i ، با رسم نمودار $\ln[-\ln \hat{R}(t_i)]$ بر حسب $\ln(t_i)$ اگر توزیع واپیول دوپارامتری انتخاب شده توزیع مناسبی باشد، اطلاعات رسم شده باید از یک خط راست پیروی کنند. به علاوه، با برآش یک خط راست به روش حداقل مربعات^{۱۶} بر اطلاعات رسم شده، به کمک شبیه سازی و محل تقاطع آن با محور y می‌توان پارامترهای توزیع واپیول را تخمین زد چرا که شبیه این خط پارامتر شکل^{۱۷} و محل تقاطع آن با محور y پارامتر مقیاس^{۱۸} (0) است.

با توجه به توضیحات داده شده، پس از در نظر گرفتن توزیع‌های آماری مختلف از جمله توزیع واپیول دوپارامتری، واپیول سهپارامتری، نمایی، نرمال و لگنرمال و انجام آزمون برآش منحنی ضریب تصحیح بی‌پرسون^{۱۹} مشخص شد که بهترین توزیع، توزیع واپیول سهپارامتری است. نمودار احتمال واپیول اطلاعات آماری مورد نظر در شکل ۴ نمایش داده شده است.

۴. روش تخمین بیشترین احتمال (MLE)

مدل پارامتری که روش تخمین MLE ارائه می‌دهد نسبت به روش نموداری از دقت بیشتری برخوردار است. در این روش ابتدا فرمول بنده تابع احتمال^{۲۰} (L) ضرورت می‌یابد که با توجه به پارامترهای مسئله تعیین می‌شود. مرحله‌ی دوم بهینه کردن تابع مورد نظر با گرفتن مشتق‌های جزئی نسبت به پارامترهای مسئله است که می‌توان به روش تحلیلی یا روش‌های بهینه‌سازی غیرخطی نقاط اکسترمم تابع را محاسبه کرد. برای فرمول‌بندي تابع احتمال یک فرض اولیه برای تابع توزیع اطلاعات مسئله مورد نیاز است و عموماً از همان تابع توزیعی که به عنوان بهترین مدل پارامتریک در روش نموداری به دست آمده است به عنوان فرض اولیه استفاده می‌شود. در واقع با اکسترمم کردن این تابع پارامترهای مجهول مدل انتخاب شده را می‌توان به دست آورد.^{۲۱} وقتی اطلاعات زمان عمر براساس حالت‌های مختلف واماندگی در دست باشد تابع L باید بر این اساس به دست بیاید. با فرض این که تعداد کل اطلاعات جامعه آماری برابر n باشد، تابع L چنین نمایش داده می‌شود:

$$L = \prod_{i=1}^n f_{c_i}^{\delta_i}(t_i) R^{1-\delta_i}(t_i) \quad (7)$$

تابع R تابع قابلیت اطمینان به دست آمده به کمک روش تخمین MLE و براساس توزیع واپیول سهپارامتری در رابطه ۸ آمده است:

$$R(t) = \exp\left(-\left(\frac{t + 174/830}{1409/73}\right)^{2/187}\right) \quad (8)$$

در شکل ۶ نمودار تابع قابلیت اطمینان غیر پارامتریک ملح بالگرد ۲۰۵ با بازه‌های اطمینان ۹۵٪ و توزیع پارامتریک واپیول حاصل از روش MLE نشان داده شده است.

یکی از نتایج مهم به دست آمده این است که ملح بالگرد ۲۰۵ دارای آهنگ

ملخ بالگرد انجام شده است. با توجه به تحلیل‌های صورت گرفته نشان داده شده است که توزیع واپول سه‌پارامتری بهترین توزیع آماری برای توصیف قابلیت اطمینان ملخ بالگرد ۲۰۵ است. پارامترهای این توزیع به‌کمک روش حداقل‌اشتغال محاسبه شده است. یکی از نتایج مهم به دست آمده این است که ملخ بالگرد ۲۰۵ دارای تابع قابلیت اطمینان با توزیع واپول سه‌پارامتری بوده و همچنین دارای آهنگ واماندگی فراینده با زمان است بدین معنی که در دوره‌ی فرسایش قرار دارد و عمر میانگین این نوع ملخ در این دوره می‌تواند به مراتب کوچک‌تر از دوره‌ی عمر مفید آن باشد. با در اختیار داشتن توزیع مناسب از نتایج، می‌توان احتمال واماندگی و قابلیت اطمینان این نوع ملخ‌ها را به‌ازای ساعت‌های پروازی مختلف تعیین نمود. در نهایت، با توجه به نمودار توابع تجمعی خرابی مربوط به هر حالت واماندگی مشخص شد که حالت واماندگی ۱ که مربوط به ارتفاعات بیش از حد^{۲۴} است، بیشترین تأثیر را در واماندگی این نوع ملخ‌ها داشته است.

واماندگی فراینده با زمان ($1 > \beta$) است بدین معنا که در دوره‌ی فرسایش^{۲۳} قرار دارد، و عمر میانگین این نوع ملخ در این دوره می‌تواند به مراتب کوچک‌تر از دوره‌ی عمر مفید آن باشد.^[۱۵]

۵. نتیجه‌گیری

قابلیت اطمینان شخصی ذاتی هر محصول با سیستم و یکی از پارامترهای طراحی، ساخت و بهره‌برداری است که طی فرایندهای مربوطه همواره باید به عنوان یک معیار مهم مورد توجه و کنترل قرار گیرد. برای حصول این امر، کمیت‌سنجی قابلیت اطمینان ضرورت می‌یابد. در مراجع فنی اطلاعات واماندگی و تحلیل‌های آماری محدودی درمورد قابلیت اطمینان قطعات بالگرد وجود دارد. در این نوشتار به‌منظور از بین این کمبود، تحلیل غیرپارامتریک قابلیت اطمینان

پانوشت‌ها

1. failure
2. lifetime data
3. stress-strength
4. competing risks
5. cumulative mode-specific hazard functions
6. nonparametric analysis
7. complete data
8. scrapped Mode
9. censored data
10. confidence intervals
11. maximum likelihood estimation
12. failure rate function
13. delamination
14. probability plots or graphical estimation
15. goodness of fit test
16. least square method
17. shape parameter
18. scale parameter
19. pearson correlation coefficient
20. likelihood function
21. probability density function
22. Anderson-Darling
23. wear out time
24. excessive vibration

منابع (References)

1. Dai, S.H. and Wang, M.O., *Reliability Analysis in Engineering Applications*, New York, Van Nostrand Reinhold, pp. 1-3 (1923).
2. Lawless, J.F., *Statistical Models and Methods for Lifetime Data*, New York, Wiley, Second Edition (2003).
3. Bell Helicopter Textron Report 460-930-212, Model OH-58D Helicopter Fatigue Substantiation of the Dynamic
- Components of the Model OH-58D Helicopter (1998).
4. Castet, J.F. and Saleh, J.H. "Satellite and satellite subsystems reliability: Statistical data analysis and modeling", *Reliability Engineering and System Safety*, **94**, pp. 1718-1728 (2009).
5. Williams, J.S. and Lagakos, S.W. "Models for censored survival analysis: A coone class of variable-sum models", *Biometrika*, **65**, pp. 181-189 (1978).
6. Crowder, M.J. *Classical Competing Risks*, Boca Raton, Chapman & Hall/CRC (2001).
7. Ghilagaber, G. "Analysis of survival data with multiple causes of failure", *Quality and Quantity*, **32**, pp. 297-324 (1998).
8. Meier, P. and Kaplan, E.L. "Nonparametric estimation from incomplete observations", *Journal of the American Statistical Association*, **53**(282), pp. 457-81 (1958).
9. Phillips, M.J. and Ansell, J.I., *Practical Methods for Reliability Data Analysis*, Oxford, Clarendon Press (1994).
10. Escobar, L.A. and Meeker, W.O., *Statistical Methods for Reliability Data*, New York, Wiley (1998).
11. Nelson, W.B. "Hazard plotting for incomplete failure data", *J. Qual. Technol.*, **1**, pp. 27-52 (1969).
12. Aalen, O. "Nonparametric estimation of partial transition probabilities in multiple decrement models", *Ann. Stat.*, **6**, pp. 534-545 (1978a).
13. Aalen, O. "Nonparametric inference for a family of counting processes", *Ann. Stat.*, **6**, pp. 701-726 (1978b).
14. Aalen, O. "Nonparametric inference in connection with multiple models", *Scand. J. Stat.*, **3**, pp. 15-27 (1976).
15. Bilinton, R. and Ronald, N., *Reliability Evaluation of Engineering Systems*, Plenum Press (1992).